

• 经验交流 •

血小板活化指标在急性脑梗死疾病中的应用研究^{*}

符布清¹, 彭丽晨¹, 季明德¹, 王佳¹, 于顾然²

(江苏省中医院:1. 检验科; 2. 神经内科, 江苏南京 210029)

摘要:目的 探讨急性脑梗死患者脑梗死初期发生时血小板活化指标的变化规律。方法 将115例急性脑梗死患者作为脑梗死组, 30例该院同期体检健康者作为对照组。检测其血浆CD62P、溶血磷脂酸(LPA)及LPA相似磷脂水平。结果 脑梗死组患者在发病24 h内, CD62P、LPA、LPA相似磷脂浓度均显著高于对照组, 差异有统计学意义($P<0.01$)。CD62P、LPA、LPA相似磷脂在ROC曲线下的面积:CD62P为0.95, LPA相似磷脂为0.969, LPA为0.972。根据ROC曲线, 当CD62P临界值为26.78%时, 诊断的敏感性为88%, 特异性为87%; LPA相似磷脂临界值为5.32 μmol/L时, 诊断的敏感性为93%, 特异性为93%; LPA临界值为3.12 μmol/L时, 诊断的敏感性为94%, 特异性为94%。脑梗死组患者CD62P、LPA、LPA相似磷脂的相关分析显示, CD62P与LPA相似磷脂($r=0.2219, P>0.01$), CD62P与LPA($r=0.2602, P>0.01$)无明显相关性; LPA与LPA相似磷脂($r=0.8567, P<0.01$)呈显著正相关。结论 急性脑梗死患者初期血小板活化明显, 血小板活化指标CD62P、LPA、LPA相似磷脂可作为急性脑梗死发生初期诊断的辅助指标。

关键词:脑梗死; 溶血磷脂酸; 磷脂; P选择素

DOI:10.3969/j.issn.1673-4130.2013.23.062

文献标识码:B

文章编号:1673-4130(2013)23-3232-03

脑梗死是一种常见的缺血性脑病。它的发生、发展与血小板活化功能亢进有关。研究急性脑梗死血小板活化指标的变化规律, 对急性脑梗死诊断和治疗都有重要意义。近年来关于血小板活化分子研究取得了飞速发展, 静止状态的血小板在各种刺激因素作用下, 可表达各种特异性分子标志物^[1-4]。其中储存在血小板α颗粒中的P选择素(P-Selectin/CD62P/GMP140)在血小板活化时, 可在血小板表面表达, 成为血小板活化后期的重要标志物之一。溶血磷脂酸(LPA)是在凝血和血栓形成的早期过程中, 由血小板产生并释放到血液中的一种脂类小分子物质, 为体内凝血和血栓形成启动的分子标志, 是血小板处于活化状态时的最早信号分子。笔者对LPA、CD62P及组织缺氧的敏感标记物LPA相似磷脂进行测定, 具体研究如下。

1 资料与方法

1.1 一般资料 选择本院2010年7月至2011年3月神经内科收治的115例住院急性脑梗死患者作为脑梗死组, 均符合全国第4届脑血管病学术会议修订的诊断标准, 并经头部CT和(或)磁共振成像(MRI)证实, 其中, 男70例, 女45例; 年龄41~86岁, 平均65岁; 单纯急性脑梗死26例, 急性脑梗死合并高血压31例, 急性脑梗死合并糖尿病18例, 急性脑梗死合并高血压和糖尿病26例, 急性脑梗死合并高血压和冠状动脉粥样硬化性心脏病(冠心病)14例。另选择30例本院同期体检健康者作为对照组, 其中, 男20例, 女10例; 年龄36~84岁, 平均62岁。

1.2 检测方法 在急性脑梗死发病24 h内, 检测脑梗死组患者血浆CD62P、LPA及LPA相似磷脂。对照组健康者也进行相应检测。

1.2.1 血浆LPA、LPA相似磷脂的测定 取患者乙二胺四乙酸(EDTA)-K₂抗凝血3 mL, 离心抽取磷脂成分, 按说明书制备、分离LPA和LPA相似磷脂测定液。LPA和LPA相似磷脂测定均采用比色法, 采用岛津UV-2401PC紫外可见分光光度计(日本)在636 nm波长下测定吸光度值, 计算血浆LPA和

LPA相似磷脂相对量。检测试剂为北京泰福仕科技公司产品。

1.2.2 CD62P测定 采用Beckman Coulter FC 500全自动流式细胞分析仪(美国BD公司)进行检测, 使用试剂CD62P-PE为藻红蛋白(PE)标记的抗CD62P单克隆抗体(美国Beckman公司)。

1.3 统计学处理 采用SPSS16.0软件进行统计学分析, 计量资料用 $\bar{x}\pm s$ 表示, 组间比较采用t检验, 对CD62P、LPA、LPA相似磷脂的受试者工作特征(ROC)曲线进行分析, 以 $\alpha=0.05$ 为检验水准, 以 $P<0.05$ 为差异有统计学意义。

2 结 果

脑梗死组患者与对照组健康者各项指标的比较见表1。脑梗死组患者在发病24 h内, CD62P、LPA、LPA相似磷脂浓度均显著高于对照组, 差异有统计学意义($P<0.01$)。

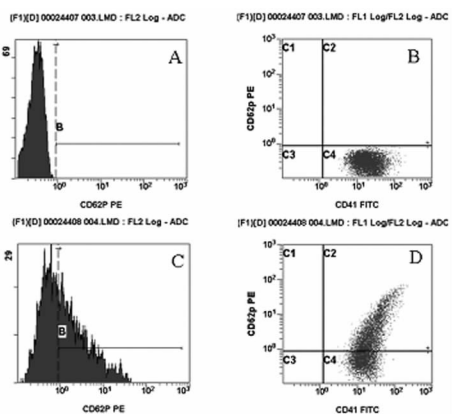
表1 脑梗死组患者与对照组健康者各项指标的比较($\bar{x}\pm s$)

组别	n	CD62P(%)	LPA(μmol/L)	LPA相似磷脂(μmol/L)
脑梗死组	115	49.57±21.65*	5.76±2.80*	9.72±3.56*
对照组	30	17.81±4.28	1.54±0.84	3.59±1.24

*: $P<0.01$, 与对照组比较。

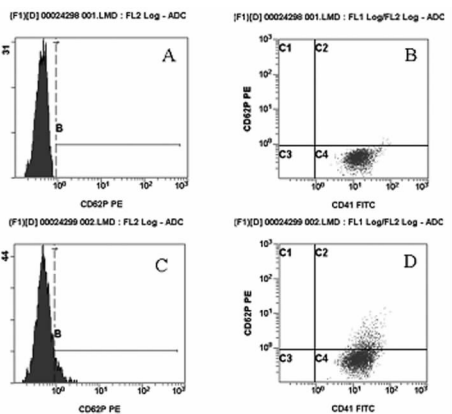
CD62P、LPA、LPA相似磷脂在ROC曲线下的面积:CD62P为0.95, LPA相似磷脂为0.969, LPA为0.972。根据ROC曲线, 当CD62P临界值为26.78%时, 诊断的敏感性为88%, 特异性为87%; LPA相似磷脂临界值为5.32 μmol/L时, 诊断的敏感性为93%, 特异性为93%; LPA临界值为3.12 μmol/L时, 诊断的敏感性为94%, 特异性为94%。脑梗死组患者和对照组健康者部分病例的流式细胞检测CD62P结果见图1、2。

* 基金项目:江苏省中医药管理局课题(HLZ09028)。



A:对照组直方图(阳性率 0.2%);B:对照组散点图(阳性率 0.2%);C:脑梗死组直方图(阳性率 58.0%);D:脑梗死组散点图(阳性率 58.0%)。

图 1 脑梗死组患者流式细胞检测 CD62P 结果



A:对照组直方图(阳性率 0.5%);B:对照组散点图(阳性率 0.5%);C:脑梗死组直方图(阳性率 15.5%);D:脑梗死组散点图(阳性率 15.5%)。

图 2 对照组健康者流式细胞检测 CD62P 结果

脑梗死组患者 CD62P、LPA、LPA 相似磷脂的相关分析显示,CD62P 与 LPA 相似磷脂($r=0.2219, P>0.01$),CD62P 与 LPA($r=0.2602, P>0.01$)无明显相关性;LPA 与 LPA 相似磷脂($r=0.8567, P<0.01$)呈显著正相关。

3 讨 论

血小板活化是血栓性疾病发生的重要原因之一。近年研究发现,与血小板活化有关的标志分子有以下几种,(1)CD62P:为血小板活化后期的标志物,是反映血小板活化程度的特异性指标之一^[5-7,12]。(2)CD63:是血小板溶酶体膜糖蛋白,血小板活化时可大量表达在血小板表面,也是血小板活化的特异性标志。(3)CD41-CD61(GP II b/III a):血小板膜糖蛋白(GP)II b/III a(PAC-1)为结合素家族成员,是血小板膜糖蛋白之一,当血小板活化时,GP II b/III a 增加,并可与白细胞表面的配基结合形成血小板-白细胞聚集体(PLA),后者是血小板活化的敏感指标^[4,6]。(4)CD42:CD42(GP I b-IX-V)也是血小板膜糖蛋白之一,在血小板活化可显著降低,可作为血小板活化分子标志之一。(5)CD36:CD36(GPIV)在血小板活化可显著增加,也可作为血小板活化的分子标志。(6)LPA:是在凝血和血栓形成的早期过程中,由血小板产生并释放到血液中的一种脂类小分子物质,为体内凝血和血栓形成启动的分子标志,是血小板处于活化状态时最早的信号分子^[8-11]。(7)CD226:CD226(血小板/T 淋巴细胞活化抗原 1)与血小板活化

作用有关。

近年来有的学者研究发现,进展型脑梗死患者和完全型脑梗死患者血小板糖蛋白 CD62P、CD63、GP II b/III a 明显高于完全型脑梗死患者,提示血小板活化是脑梗死发病急性期的重要病理基础之一。国内有人研究发现,发生脑梗死 3 d 内的老年患者,CD62P 显著升高。

研究发现,脑梗死患者发病 24 h 内进行血小板活化指标 CD62P、LPA、LPA 相似磷脂检测,其结果均显著高于对照组,进一步研究发现,LPA 与 LPA 相似磷脂呈正相关,但 LPA、LPA 相似磷脂与 CD62P 相关性不明显,表明在急性脑梗死发生 24 h 内,患者体内存在明显血小板活化,LPA 相似磷脂是在大脑等组织缺氧后,由于磷脂酶 D 活性增加而催化产生的一种反映组织缺氧的敏感标记物^[10],LPA 相似磷脂明显增高,表明有缺氧的发生,且其与 LPA 呈正相关,后者是体内凝血和血栓形成启动最早的信号分子,说明脑组织缺氧可能与血小板活化具有某种关联。笔者通过对血小板活化指标 LPA、CD62P 和组织缺氧指标 LPA 相似磷脂的 ROC 曲线进行分析,发现这 3 种指标对急性脑梗死的诊断都有重要意义。当 CD62P 临界值为 26.78% 时,诊断的敏感性为 88%,特异性为 87%;LPA 相似磷脂临界值为 5.32 μmol/L 时,诊断的敏感性为 93%,特异性为 93%;LPA 临界值为 3.12 μmol/L 时,诊断的敏感性 94%,特异性 94%,3 种指标对急性脑梗死早期诊断都有较高的敏感性和特异性。

CD62P、LPA 和 LPA 相似磷脂的联合检查发现,它们在早期急性脑梗死疾病中均有不同程度的改变,尤其 LPA 和 LPA 相似磷脂作为凝血和血栓形成早期过程的标志分子,它们可能在血栓性疾病前期即发生了改变,在血栓性疾病的发生初期表现为显著性增高。因此,对于怀疑有血栓性疾病前期或早期患者的血浆 LPA 和 LPA 相似磷脂可作为一个辅助性筛查和早期诊断指标。

参考文献

- Dohi T, Miyauchi K, Ohkawa R, et al. Increased lysophosphatidic acid levels in culprit coronary arteries of patients with acute coronary syndrome[J]. Atherosclerosis, 2013, 229(1): 192-197.
- Rancoule C, Attané C, Grès S, et al. Lysophosphatidic acid impairs glucose homeostasis and inhibits insulin secretion in high-fat diet obese mice[J]. Diabetologia, 2013, 56(6): 1394-1402.
- Lan M, Liu W, Wang Y, et al. Copolythiophene-derived colorimetric and fluorometric sensor for lysophosphatidic acid based on multipoint interactions[J]. ACS Appl Mater Interfaces, 2013, 5(6): 2283-2288.
- Ino M, Shimizu Y, Tanaka T, et al. Alterations of plasma levels of lysophosphatidic acid in response to fasting of rats[J]. Biol Pharm Bull, 2012, 35(11): 2059-2063.
- Zhao Y, Natarajan V. Lysophosphatidic acid (LPA) and its receptors: role in airway inflammation and remodeling[J]. Biochim Biophys Acta, 2013, 1831(1): 86-92.
- Park EY, Kazlauskas A. Primary human endothelial cells secrete agents that reduce responsiveness to lysophosphatidic acid (LPA)[J]. Biosci Rep, 2012, 32(4): 393-400.
- Cheng HY, Dong A, Panchatcharam M, et al. Lysophosphatidic acid signaling protects pulmonary vasculature from hypoxia-induced remodeling[J]. Arterioscler Thromb Vasc Biol, 2012, 32(1): 24-32.
- Dohi T, Miyauchi K, Ohkawa R, et al. Increased circulating plasma

- lysophosphatidic acid in patients with acute coronary syndrome [J]. Clin Chim Acta, 2012, 413(1-2): 207-212.
- [9] Dusauley R, Rancoule C, Grès S, et al. Adipose-specific disruption of autotaxin enhances nutritional fattening and reduces plasma lysophosphatidic acid[J]. J Lipid Res, 2011, 52(6): 1247-1255.
- [10] Li ZG, Yu ZC, Yu YP, et al. Lysophosphatidic acid level and the incidence of silent brain infarction in patients with nonvalvular atrial fibrillation[J]. Int J Mol Sci, 2010, 11(10): 3988-3998.

• 经验交流 •

淮安地区健康成人尿液电导率参考区间的建立

高玉琴

(南京医科大学附属淮安市第一人民医院检验科, 江苏淮安 22300)

摘要:目的 调查淮安市健康成人的尿液电导率分布情况, 建立本地区健康人群尿电导率的参考区间。方法 采用日本 Sysmex UF-50 型全自动尿沉渣分析仪及其配套试剂检测 1 196 例健康人群尿液的电导率, 对结果进行统计学分析。结果 男、女之间尿电导率的差异有统计学意义($P < 0.05$), 男、女性不同年龄组之间尿电导率的差异有统计学意义($P < 0.05$), 男、女性尿电导率随着年龄的增长有下降趋势。男、女之间尿电导率有性别差异($t = 6.67, P = 0.00$), 男性不同年龄组之间, 尿电导率有差异($P = 0.00$), 男性年龄 $>30\sim40$ 岁组与 $>40\sim55$ 岁组, 尿电导率无差异($t = 1.59, P = 0.11$); 女性不同年龄组之间, 尿电导率也有差异($P = 0.00$)。女性年龄 $18\sim30$ 岁组, $>30\sim40$ 岁组, $>40\sim55$ 岁组尿电导率无差异($P = 0.96$)。将无显著性差异的不同组数据合并后计算均数和标准差, 按 $\pm 1.96 s$ 表示 95% 参考区间得到健康成年男性尿电导率参考区间, $>18\sim30$ 岁组为 9.46~42.86 mS/cm, $>30\sim55$ 岁组为 6.17~40.15 mS/cm, >55 岁组为 4.82~34.66 mS/cm; 健康成年女性尿电导率参考区间: $>18\sim55$ 岁组为 3.32~37.62 mS/cm, >56 岁组为 1.97~31.73 mS/cm。结论 建立了淮安地区健康成人尿液电导率参考区间。

关键词:尿液; 电导率; 参考区间; 成人

DOI:10.3969/j.issn.1673-4130.2013.23.063

文献标识码:B

文章编号:1673-4130(2013)23-3234-02

肾脏是人体重要的代谢和排泄器官, 尿渗透压是反映肾脏的浓缩能力的一项重要指标^[1], 尿电导率与尿渗透压有密切关系^[2], 因此, 对尿液电导率的分析可评价肾脏的浓缩稀释功能。本研究通过检测淮安地区健康成人的尿电导率, 制定出适合本地区人群的尿电导率生物参考区间, 以便进一步指导临床应用。

1 资料与方法

1.1 一般资料 收集 2009~2011 年来本院体检中心进行健康体检的, 经相关检查排除心、肺、肝、肾疾病, 高血压及糖尿病的健康成人 1 196 例, 其中, 男 727 例, 年龄(43.73±14.25)岁; 女 469 例, 年龄(44.55±14.99)岁。

1.2 主要仪器与试剂 UF-50 型全自动尿沉渣分析仪及其配套试剂(日本 Sysmex 公司); 迪瑞 H-300 型尿液分析仪及 URISTIK H11干化学试剂条(长春迪瑞实业有限公司)。

1.3 方法 所有试验固定专人操作。并在取样后 2 h 内完成。仪器均为开机后先测质控, 质控在控情况下, 再进行尿液标本检测。

1.4 统计学处理 采用 SPSS11.5、Excel 2003 软件进行统计学分析, 计量资料用 $\bar{x} \pm s$ 表示, 不同性别组样本比较用成组样本 t 检验, 各年龄组样本均数用方差分析和 SNK-q 检验, 用 $\bar{x} \pm 1.96 s$ 计算尿电导率参考区间, 以 $\alpha=0.05$ 为检验水准, 以 $P<0.05$ 为差异有统计学意义。

2 结 果

男、女健康成人尿液电导率分别为(23.03±8.66)、(19.58±8.84)mS/cm; 不同性别、年龄的健康成人尿液电导率见表 1。不同性别、年龄健康成人尿液电导率参考区间见表 2、3。男、女之间尿电导率有性别差异($t = 6.67, P = 0.00$), 男性

- [11] Yatomi Y. Clinical introduction of lysophosphatidic acid and autotaxin assays[J]. Rinsho Byori, 2010, 58(6): 631-635.
- [12] Gierse J, Thorarensen A, Beltey K, et al. A novel autotaxin inhibitor reduces lysophosphatidic acid levels in plasma and the site of inflammation[J]. J Pharmacol Exp Ther, 2010, 334(1): 310-317.

(收稿日期:2013-09-08)

不同年龄组之间, 尿电导率有差异($P = 0.00$), 男性年龄 $>30\sim40$ 岁组与 $>40\sim55$ 岁组, 尿电导率无差异($t = 1.59, P = 0.11$); 女性不同年龄组之间, 尿电导率也有差异($P = 0.00$)。女性年龄 $>18\sim30$ 岁组, $>30\sim40$ 岁组, $>40\sim55$ 岁组尿电导率无差异($P = 0.96$)。将无显著性差异的不同组数据合并后计算均数和标准差, 按 $\pm 1.96 s$ 表示 95% 参考区间得到健康成年男性尿电导率参考区间, $>18\sim30$ 岁组为 9.46~42.86 mS/cm, $>30\sim55$ 岁组为 6.17~40.15 mS/cm, >55 岁组为 4.82~34.66 mS/cm; 健康成年女性尿电导率参考区间: $>18\sim55$ 岁组为 3.32~37.62 mS/cm, >56 岁组为 1.97~31.73 mS/cm。

表 1 健康成人不同年龄组尿电导率结果

年龄(岁)	男性		女性	
	n	电导率(mS/cm)	n	电导率(mS/cm)
>18~30	156	26.16±8.52	96	20.69±9.51
>30~40	176	23.93±8.57	111	20.43±8.31
>40~55	231	22.56±8.71	147	20.36±8.62
>55	164	19.74±7.61	115	16.85±8.59

表 2 男性不同年龄健康人尿液电导率参考区间的比较

年龄段(岁)	n	电导率(mS/cm)	95%参考区间(mS/cm)
18~30	156	26.16±8.52	9.46~42.86
>30~55	407	23.16±8.67	6.17~40.15
>55	164	19.74±7.61	4.82~34.66